

**Título do trabalho a ser apresentado à
CPG para a dissertação/tese**

Rodrigo Augusto Dias Faria

TEXTO APRESENTADO
AO
INSTITUTO DE MATEMÁTICA E ESTATÍSTICA
DA
UNIVERSIDADE DE SÃO PAULO
PARA
O EXAME DE QUALIFICAÇÃO
DO
MESTRADO EM CIÊNCIAS

Programa: Ciência da Computação
Orientador: Prof. Dr. Roberto Hirata Junior

São Paulo, novembro de 2016

Resumo

SOBRENOME, A. B. C. **Título do trabalho em português**. 2010. 120 f. Tese (Doutorado) - Instituto de Matemática e Estatística, Universidade de São Paulo, São Paulo, 2010.

[illegible]

Palavras-chave: palavra-chave1, palavra-chave2, palavra-chave3.

Abstract

SOBRENOME, A. B. C. **Título do trabalho em inglês**. 2010. 120 f. Tese (Doutorado) - Instituto de Matemática e Estatística, Universidade de São Paulo, São Paulo, 2010.

[illegible]

Keywords: keyword1, keyword2, keyword3.

Sumário

| | |
|--|-------------|
| Lista de Abreviaturas | ix |
| Lista de Símbolos | xi |
| Lista de Figuras | xiii |
| Lista de Tabelas | xv |
| 1 Introdução | 1 |
| 1.1 Considerações Preliminares | 1 |
| 1.2 Objetivos | 1 |
| 1.3 Contribuições | 2 |
| 1.4 Organização do Trabalho | 2 |
| 2 Fundamentação Teórica | 3 |
| 2.1 Modelos de Cores | 3 |
| 2.1.1 Modelo de Munsell | 3 |
| 2.1.2 Modelo CIE | 4 |
| 2.1.3 Modelo RGB | 6 |
| 2.1.4 Modelo CMY | 6 |
| 2.1.5 Modelo de cores da família YUV | 7 |
| 2.1.6 Modelo de cores da família HSI | 8 |
| 3 Conclusões | 9 |
| 3.1 Considerações Finais | 9 |
| 3.2 Sugestões para Pesquisas Futuras | 9 |
| 3.3 Cronograma Proposto | 9 |
| A Sequências | 11 |
| Referências Bibliográficas | 13 |
| Índice Remissivo | 14 |

Lista de Abreviaturas

| | |
|-------|--|
| CIE | Comissão Internacional de Iluminação (<i>Commission Internationale de l'Eclairage</i>) |
| CMY | Ciano, Magenta e Amarelo (<i>Cyan, Magenta and Yellow</i>) |
| HSI | Matiz, Saturação e Intensidade (<i>Hue, Saturation, Intensity</i>) |
| HSL | Matiz, Saturação e Luminosidade (<i>Hue, Saturation, Lightness</i>) |
| HSV | Matiz, Saturação e Luminância (<i>Hue, Saturation, Value</i>) |
| NTSC | Comitê Nacional do Sistema de Televisão (<i>National Television System Committee</i>) |
| PAL | Linha de Fase Alternada (<i>Phase Alternation Line</i>) |
| RGB | Vermelho, Verde e Azul (<i>Red, Green and Blue</i>) |
| SECAM | Cor Sequencial Com Memória (<i>Séquentiel Couleur à Mémoire</i>) |
| UCS | Escala Uniforme de Cromaticidade (<i>Uniform Chromaticity Scale</i>) |
| YIQ | Luminância, Matiz e Saturação (<i>Luma, Hue and Saturation</i>) |
| YUV | Luminância e Crominância (<i>Luma and Chrominance</i>) |

Lista de Símbolos

| | |
|----------|-----------------------------------|
| ω | Frequência angular |
| ψ | Função de análise <i>wavelet</i> |
| Ψ | Transformada de Fourier de ψ |

Lista de Figuras

| | | |
|-----|---|---|
| 2.1 | Modelo de cores de Munsell. | 4 |
| 2.2 | Diagrama de cromaticidade CIE 1931. | 5 |
| 2.3 | Cubo unitário representando as cores do modelo RGB. | 6 |
| 2.4 | Representação gráfica do modelo HSI. | 8 |

Lista de Tabelas

| | | |
|-----|--|----|
| 3.1 | Cronograma proposto para execução do trabalho. | 9 |
| A.1 | Exemplo de tabela. | 12 |

1.3 Contribuições

As principais contribuições deste trabalho são as seguintes:

- Item 1. Texto texto.
- Item 2. Texto texto.

1.4 Organização do Trabalho

No Capítulo [2](#), apresentamos os conceitos ... Finalmente, no Capítulo [3](#) discutimos algumas conclusões obtidas neste trabalho. Analisamos as vantagens e desvantagens do método proposto ...

As sequências testadas no trabalho estão disponíveis no Apêndice [A](#).

Capítulo 2

Fundamentação Teórica

Fazer uma breve introdução aqui.

2.1 Modelos de Cores

O uso de imagens coloridas em visão computacional ou no processamento de imagens pode ser motivado por dois fatores principais. O primeiro diz respeito a característica poderosa da cor de funcionar como um descritor que, frequentemente, simplifica a identificação e extração de um objeto em uma cena. O segundo está relacionado com a capacidade dos seres humanos de discernir milhares de tonalidades e intensidades, se comparado com apenas algumas dúzias de níveis de cinza (Gonzalez e Woods, 2002).

A percepção visual da cor pelo olho humano não deve variar conforme a distribuição espectral da luz natural incidente sobre um objeto. Em outras palavras, a aparência de cor dos objetos permanece estável sob condições de iluminação diferentes. Este fenômeno é conhecido como constância de cor (Gevers *et al.*, 2012).

Como exemplo, o gramado de um estádio de futebol permanece verde durante todo o dia, inclusive ao entardecer quando, de um ponto de vista físico, a luz solar tem um aspecto mais avermelhado.

A percepção humana das cores se dá pela ativação de células nervosas que enviam mensagens ao cérebro sobre brilho (*brightness*), matiz (*hue*) e saturação (*saturation*) que, geralmente, são as características usadas para distinguir uma cor de outra (Gonzalez e Woods, 2002).

O brilho dá a noção de intensidade cromática. Matiz representa a cor dominante percebida por um observador. Já a saturação refere-se à pureza relativa ou quantidade de luz branca aplicada ao matiz. Combinados, matiz e saturação são conhecidos como cromaticidade e, portanto, uma cor deve ser caracterizada por seu brilho e cromaticidade (Gonzalez e Woods, 2002).

As cores podem ser especificadas por modelos matemáticos em tuplas de números em um sistema de coordenadas e um subespaço dentro deste sistema onde cada cor é representada por um único ponto. Tais modelos são conhecidos como modelo de cores (Gonzalez e Woods, 2002).

Estes modelos podem ser classificados como de dois tipos: os modelos aditivos em que as intensidades das cores primárias são adicionadas para produzir outras cores e subtrativos, onde as cores são geradas subtraindo-se o comprimento da onda dominante da luz branca.

As seções seguintes descrevem brevemente alguns dos principais modelos de cores, bem como seus variantes e principais áreas de aplicação.

2.1.1 Modelo de Munsell

O Professor Albert H. Munsell foi pioneiro na tentativa de organizar a percepção de cor em um espaço de cores. Mais do que isso, Munsell conseguiu aliar a arte e a ciência das cores em uma única teoria (Plataniotis e Venetsanopoulos, 2000).

O princípio da igualdade de espaçamento entre os componentes do modelo é a ideia principal do modelo de cores de Munsell (Plataniotis e Venetsanopoulos, 2000). Esses componentes são matiz (*hue*), luminosidade (*value*) e saturação (*chroma*).

O modelo é representado por uma forma cilíndrica e pode ser visto na figura 2.1. O matiz está disposto no eixo circular que consiste de cinco cores de base e cinco secundárias, a saturação no eixo radial e a luminosidade no eixo vertical em uma escala variando de 0 a 10.

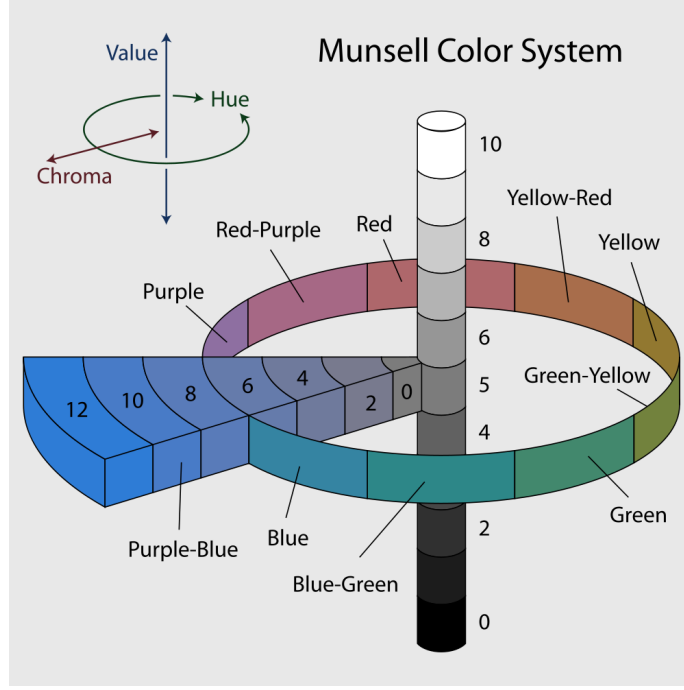


Figura 2.1: Modelo de cores de Munsell.

2.1.2 Modelo CIE

Em 1931, o CIE estabeleceu o primeiro modelo matemático de especificação numérica da cor, cujo objetivo era analisar a relação entre os aspectos físicos das cores no espectro eletromagnético e sua percepção pelo sistema visual humano para determinar como uma pessoa comum percebe a cor. Uma revisão desta especificação foi publicada em 1964 (Gonzalez e Woods, 2002).

O experimento que originou o padrão consistia em detectar as cores percebidas por um observador a partir de uma mistura de três cores primárias X, Y e Z chamadas de valores tristímulus. Estas coordenadas deram origem ao espaço de cores **CIE XYZ** que engloba todas as cores que podem ser percebidas por um ser humano comum e, por esta razão, é considerado uma representação independente de dispositivo (Plataniotis e Venetsanopoulos, 2000).

O sistema proposto pelo CIE XYZ para descrição de uma cor é baseado em um componente de luminância Y e outros dois componentes adicionais X e Z que dão a informação de cromaticidade. Este sistema é formado por cores imaginárias que podem ser expressas como combinações das medidas normalizadas abaixo:

$$x = \frac{X}{X + Y + Z} \quad (2.1)$$

$$y = \frac{Y}{X + Y + Z} \quad (2.2)$$

$$z = \frac{Z}{X + Y + Z} \quad (2.3)$$

com $x + y + z = 1$.

As combinações de valores negativos e outros problemas relacionados à seleção de um conjunto de primárias reais são eliminados. As coordenadas de cromaticidade x e y permitem representar todas as cores num plano bidimensional, conhecido como diagrama de cromaticidade, que pode ser visto na figura 2.2.

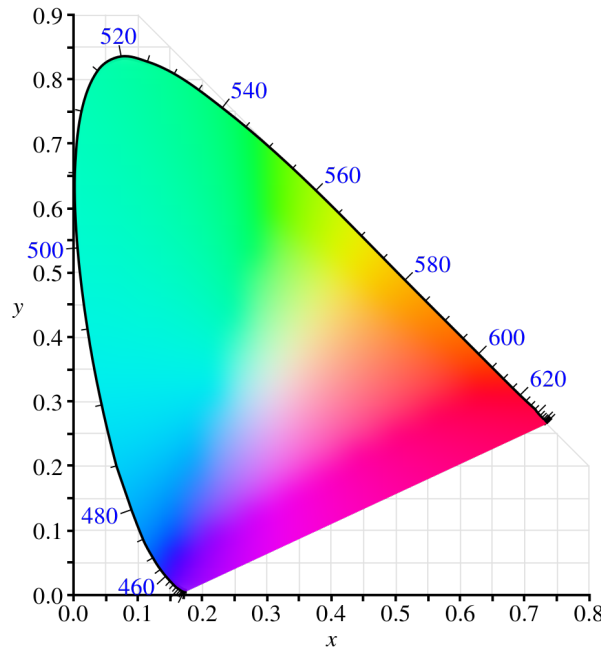


Figura 2.2: Diagrama de cromaticidade CIE 1931.

Os pontos que representam as cores puras no espectro eletromagnético são rotulados de acordo com os seus comprimentos de onda e estão localizados ao longo da curva que vai da extremidade direita do eixo x correspondente à cor vermelha até a extremidade esquerda do mesmo eixo correspondente à cor violeta, formando um polígono parecido com uma ferradura. Os pontos internos correspondem a todas as combinações possíveis de cores visíveis. As coordenadas $(x = 1/3, y = 1/3)$ correspondem à localização da luz branca, também conhecida como ponto branco, e servem de referência no processo de captura de imagem, codificação ou reprodução.

O CIE também derivou e padronizou outros dois modelos de cores a partir da especificação do CIE XYZ e, da mesma maneira, são independente de dispositivo. Ambos são perceptualmente uniformes, ou seja, distâncias perceptuais iguais separam todas as cores (Vezhnevets *et al.*, 2003). Como exemplo, a escala de cinzas do espaço deve permitir uma transição suave entre o preto e o branco.

O primeiro deles foi concebido para reduzir o problema de não uniformidade perceptual. Alguns diagramas de Escala Uniforme de Cromaticidade (UCS) foram propostos com base em equações matemáticas para transformar os valores XYZ ou as coordenadas x, y em um novo conjunto de valores (u, v) , o que deu origem ao diagrama de cromaticidade 1960 CIE uv (Gevers *et al.*, 2012).

Ainda com resultados insatisfatórios, o CIE fez uma nova mudança multiplicando o componente v por um fator 1,5. Além disso, a escala de luminosidade dada pelo componente Y foi substituída por $L^* = [0, 100]$ para melhor representar as diferenças na luminosidade que são equivalentes. Esta revisão originou o modelo de cores **CIE 1976 $L^*u^*v^*$** , comumente conhecido pela sigla CIELUV (Gevers *et al.*, 2012).

Em 1976 o CIE adotou um novo modelo de cores, baseado no modelo L, a, b , proposto por Richard Hunter em 1948, que melhor representava o espaçamento uniforme das cores. Denominado **1976 CIE $L^*a^*b^*$** e conhecido pela sigla CIELAB, é um espaço baseado em cores oponentes ¹ no

¹Teoria iniciada por volta do ano de 1500 quando Leonardo da Vinci concluiu que as cores são produzidas pela mistura de amarelo e azul, verde e vermelho, e branco e preto. Em 1950 houve a confirmação desta teoria quando sinais de cores oponentes foram detectados na conexão óptica entre a retina e o cérebro (Gevers *et al.*, 2012).

qual os estímulos de cor da retina são convertidos para distinções entre claro e escuro, vermelho e verde, e azul e amarelo, representados pelos eixos L^* , a^* , e b^* , respectivamente (Gevers *et al.*, 2012).

2.1.3 Modelo RGB

O modelo RGB, acrônimo do inglês *Red, Green, Blue*, é um modelo de cores aditivo no qual as três cores primárias vermelho, verde e azul são somadas para produzir as demais (Gonzalez e Woods, 2002).

Esse sistema foi baseado na teoria tricromática de Thomas Young e Hermann Helmholtz em meados do século 19 e pode ser representado graficamente através do cubo unitário definido sobre os eixos R, G e B, como ilustrado na figura 2.3 (Plataniotis e Venetsanopoulos, 2000).

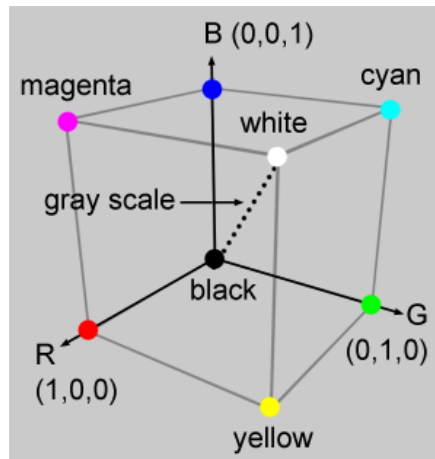


Figura 2.3: Cubo unitário representando as cores do modelo RGB.

A origem, dada pelo vértice $(0, 0, 0)$, representa a cor preta. Já o vértice $(1, 1, 1)$, oposto à origem, representa a cor branca. Os vértices destacados sobre os eixos representam as cores primárias e os demais são o complemento de cada uma delas. Cada ponto no interior do cubo corresponde a uma cor que pode ser representada pela tripla (r, g, b) , onde $r, g, b \in [0, 1]$. Os tons de cinza são representados ao longo da diagonal principal do cubo, sendo que cada ponto ao longo dessa diagonal é formado por contribuições iguais de cada primária.

Vale ressaltar que existem duas formas de representar o espaço RGB: linear e não linear. O sistema supra citado mostra o modelo não linear, cuja sigla é $R'G'B'$, e é o mais utilizado por dispositivos e aplicações pela sua similaridade com o sistema visual humano. Na literatura, este sistema é frequentemente citado com a sigla RGB, o que torna a nomenclatura dúbia, uma vez que o modelo linear também é denominado RGB e, portanto, a conversão entre os espaços de cores deve ser feita com certa cautela. Também é importante citar que os valores RGB lineares são raramente utilizados para representar uma imagem já que são, perceptualmente, altamente não uniformes (Plataniotis e Venetsanopoulos, 2000).

2.1.4 Modelo CMY

O modelo CMY é baseado nas cores primárias complementares Ciano, Magenta e Amarelo e, diferentemente do RGB, é um modelo de cores subtrativo no qual as cores são geradas subtraindo-se o comprimento da onda dominante da luz branca e, por isso, a cor resultante corresponde à luz que é refletida (Gonzalez e Woods, 2002).

Uma maneira de obter o sistema CMY é:

$$\begin{bmatrix} C \\ M \\ Y \end{bmatrix} = \begin{bmatrix} B \\ R \\ R \end{bmatrix} + \begin{bmatrix} G \\ B \\ G \end{bmatrix} \quad (2.4)$$

ou ainda, efetuando uma mudança de coordenadas subtraindo-se as cores primárias R, G e B da cor branca $W = (1, 1, 1)$ (Gonzalez e Woods, 2002):

$$\begin{bmatrix} C \\ M \\ Y \end{bmatrix} = \begin{bmatrix} 1 \\ 1 \\ 1 \end{bmatrix} - \begin{bmatrix} R \\ G \\ B \end{bmatrix} \quad (2.5)$$

Assim como o RGB, o CMY é dependente de dispositivo. O modelo é amplamente utilizado em equipamentos que depositam pigmentos coloridos sobre papel, tais como impressoras ou fotocopiadoras coloridas.

A sobreposição das cores primárias CMY em iguais quantidades para gerar a cor preta tipicamente cria uma tonalidade próxima ao marrom ou verde escuro. Para evitar este efeito indesejado, normalmente adiciona-se o componente de cor preta no sistema, representado pela letra K , obtendo-se um novo modelo conhecido como **CMYK** (Gonzalez e Woods, 2002).

2.1.5 Modelo de cores da família YUV

O termo YUV refere-se a uma família de espaços de cores dos quais a informação de luminância, representada pelo componente Y, é codificada separadamente da cromaticidade, dada pelos componentes U e V. Os componentes U e V são representações dos sinais da diferença do azul subtraído da luminância (B-Y) e vermelho subtraído da luminância (R-Y). É utilizado para representar as cores em sistemas de transmissão analógica de televisão nos padrões Linha de Fase Alternada (PAL) e Cor Sequencial Com Memória (SECAM) (Pedrini e Schwartz, 2008).

A transformação do espaço RGB para YUV é dada por:

$$\begin{bmatrix} Y \\ U \\ V \end{bmatrix} = \begin{bmatrix} 0.299 & 0.587 & 0.114 \\ -0.147 & -0.289 & 0.436 \\ 0.615 & -0.515 & -0.100 \end{bmatrix} \begin{bmatrix} R \\ G \\ B \end{bmatrix} \quad (2.6)$$

onde $0 \leq R, G, B \leq 1$.

Análogo ao YUV, o modelo **YIQ** foi adotado em 1950 pelo Comitê Nacional do Sistema de Televisão (NTSC), um padrão americano para transmissão de sinal de televisão a cores. Neste modelo, o componente Y corresponde à luminância e os componentes I (matiz) e Q (saturação) codificam a informação de cromaticidade (Pedrini e Schwartz, 2008).

A transformação do espaço RGB para YIQ é dada por:

$$\begin{bmatrix} Y \\ I \\ Q \end{bmatrix} = \begin{bmatrix} 0.299 & 0.587 & 0.114 \\ 0.596 & -0.275 & -0.321 \\ 0.212 & -0.523 & -0.311 \end{bmatrix} \begin{bmatrix} R \\ G \\ B \end{bmatrix} \quad (2.7)$$

onde $0 \leq R, G, B \leq 1$.

Um outro modelo de cores da família YUV é o **YCbCr**, definido matematicamente por uma transformação de coordenadas em relação a algum espaço RGB (Pedrini e Schwartz, 2008).

O modelo YCbCr é largamente utilizado em vídeos digitais. Neste modelo, o componente Y representa a luminância, o componente Cb dá a medida da diferença entre a cor azul e um valor de referência, análogo ao componente Cr que é a medida da diferença entre a cor vermelha e um valor de referência (Pedrini e Schwartz, 2008).

A conversão do espaço RGB para YCbCr é dada por:

$$\begin{bmatrix} Y \\ Cb \\ Cr \end{bmatrix} = \begin{bmatrix} 0.299 & 0.587 & 0.114 \\ -0.169 & -0.331 & 0.5 \\ 0.5 & -0.419 & -0.081 \end{bmatrix} \begin{bmatrix} R \\ G \\ B \end{bmatrix} \quad (2.8)$$

2.1.6 Modelo de cores da família HSI

Modelos baseados no Matiz, Saturação e Intensidade (HSI) são mais adequados para aplicações de processamento de imagens, do ponto de vista do usuário, pela correlação com a percepção humana da cor (Plataniotis e Venetsanopoulos, 2000).

Neste modelo, assim como no YIQ, a intensidade dada pelo componente I é decomposta da informação de crominância, representada pelo matiz (H) e saturação (S) (Plataniotis e Venetsanopoulos, 2000). A combinação destes componentes resulta em uma estrutura piramidal que pode ser vista na figura 2.4.

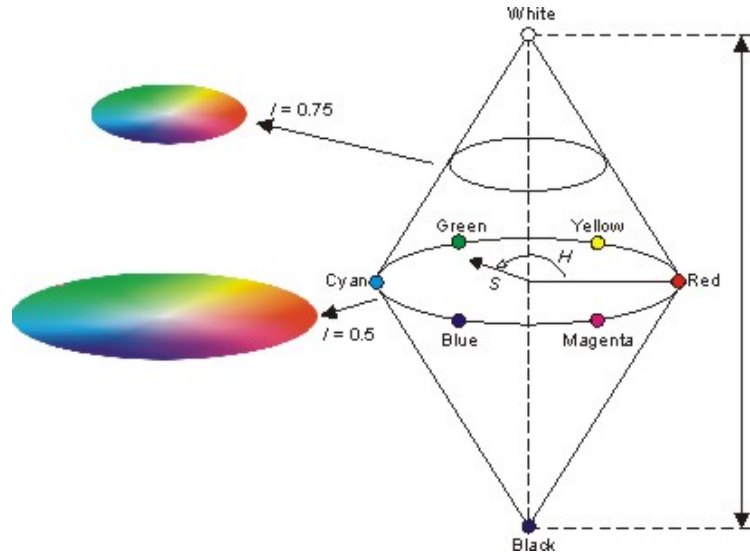


Figura 2.4: Representação gráfica do modelo HSI.

O matiz descreve a cor em si, sob a forma de um ângulo θ , onde $\theta \in [0, 360]$. O vermelho está situado a 0 grau, amarelo a 60, verde a 120 e assim sucessivamente. O componente de saturação, que varia entre 0 e 1, indica o quanto a cor está poluída com a cor branca. A escala de intensidade é entre $[0, 1]$, onde 0 significa preto e 1, branco.

Outro modelo desta família é formado pelos componentes Matiz, Saturação e Luminância (HSV) e sua representação gráfica tridimensional é uma pirâmide hexagonal derivada do cubo RGB (Pedrini e Schwartz, 2008).

Os vários matizes estão representados na parte superior da pirâmide, a saturação é medida ao longo do eixo horizontal e a luminância é medida ao longo do eixo vertical, que passa pelo centro da pirâmide. O matiz, que corresponde às arestas ao redor do eixo vertical, varia de 0 (vermelho) a 360 graus e o ângulo entre os vértices é de 60 graus. A saturação varia de 0 a 1 e é representada como sendo a razão entre a pureza de um determinado matiz e a sua pureza máxima, ou seja, quando $S = 1$. A luminância varia de 0, no pico da pirâmide representando a cor preta, a 1 na base, onde as intensidades das cores são máximas (Pedrini e Schwartz, 2008).

Da mesma forma que o HSV, o modelo Matiz, Saturação e Luminosidade (HSL) é uma representação tridimensional e é formado por dois cones de altura 1, cujas bases são coincidentes (Pedrini e Schwartz, 2008).

O matiz é determinado pelos pontos no círculo das bases comuns aos cones. A saturação varia de 0 a 1, conforme a distância ao eixo do cone. A luminosidade está ao longo do eixo vertical comum aos dois cones e varia na escala $[0, 1]$, onde 0 significa preto e 1, branco (Pedrini e Schwartz, 2008).

Todos os modelos de cores dessa família têm a propriedade de se pensar em cores mais claras, obtidas pelo aumento do brilho ou luminosidade, e mais escuras, pela diminuição dos mesmos valores. As cores intermediárias são produzidas pela diminuição da saturação (Pedrini e Schwartz, 2008).

Apêndice A

Sequências

[illegible]

| <i>Limiar</i> | MGWT | | | AMI | | | <i>Spectrum</i> de Fourier | | | Características espectrais | | |
|---------------|-----------|-----------|-----------|-----------|-----------|-----------|----------------------------|-----------|-----------|----------------------------|-----------|-----------|
| | <i>Sn</i> | <i>Sp</i> | <i>AC</i> | <i>Sn</i> | <i>Sp</i> | <i>AC</i> | <i>Sn</i> | <i>Sp</i> | <i>AC</i> | <i>Sn</i> | <i>Sp</i> | <i>AC</i> |
| 1 | 1.00 | 0.16 | 0.08 | 1.00 | 0.16 | 0.08 | 1.00 | 0.16 | 0.08 | 1.00 | 0.16 | 0.08 |
| 2 | 1.00 | 0.16 | 0.09 | 1.00 | 0.16 | 0.09 | 1.00 | 0.16 | 0.09 | 1.00 | 0.16 | 0.09 |
| 2 | 1.00 | 0.16 | 0.10 | 1.00 | 0.16 | 0.10 | 1.00 | 0.16 | 0.10 | 1.00 | 0.16 | 0.10 |
| 4 | 1.00 | 0.16 | 0.10 | 1.00 | 0.16 | 0.10 | 1.00 | 0.16 | 0.10 | 1.00 | 0.16 | 0.10 |
| 5 | 1.00 | 0.16 | 0.11 | 1.00 | 0.16 | 0.11 | 1.00 | 0.16 | 0.11 | 1.00 | 0.16 | 0.11 |
| 6 | 1.00 | 0.16 | 0.12 | 1.00 | 0.16 | 0.12 | 1.00 | 0.16 | 0.12 | 1.00 | 0.16 | 0.12 |
| 7 | 1.00 | 0.17 | 0.12 | 1.00 | 0.17 | 0.12 | 1.00 | 0.17 | 0.12 | 1.00 | 0.17 | 0.13 |
| 8 | 1.00 | 0.17 | 0.13 | 1.00 | 0.17 | 0.13 | 1.00 | 0.17 | 0.13 | 1.00 | 0.17 | 0.13 |
| 9 | 1.00 | 0.17 | 0.14 | 1.00 | 0.17 | 0.14 | 1.00 | 0.17 | 0.14 | 1.00 | 0.17 | 0.14 |
| 10 | 1.00 | 0.17 | 0.15 | 1.00 | 0.17 | 0.15 | 1.00 | 0.17 | 0.15 | 1.00 | 0.17 | 0.15 |
| 11 | 1.00 | 0.17 | 0.15 | 1.00 | 0.17 | 0.15 | 1.00 | 0.17 | 0.15 | 1.00 | 0.17 | 0.15 |
| 12 | 1.00 | 0.18 | 0.16 | 1.00 | 0.18 | 0.16 | 1.00 | 0.18 | 0.16 | 1.00 | 0.18 | 0.16 |
| 13 | 1.00 | 0.18 | 0.17 | 1.00 | 0.18 | 0.17 | 1.00 | 0.18 | 0.17 | 1.00 | 0.18 | 0.17 |
| 14 | 1.00 | 0.18 | 0.17 | 1.00 | 0.18 | 0.17 | 1.00 | 0.18 | 0.17 | 1.00 | 0.18 | 0.17 |
| 15 | 1.00 | 0.18 | 0.18 | 1.00 | 0.18 | 0.18 | 1.00 | 0.18 | 0.18 | 1.00 | 0.18 | 0.18 |
| 16 | 1.00 | 0.18 | 0.19 | 1.00 | 0.18 | 0.19 | 1.00 | 0.18 | 0.19 | 1.00 | 0.18 | 0.19 |
| 17 | 1.00 | 0.19 | 0.19 | 1.00 | 0.19 | 0.19 | 1.00 | 0.19 | 0.19 | 1.00 | 0.19 | 0.19 |
| 17 | 1.00 | 0.19 | 0.20 | 1.00 | 0.19 | 0.20 | 1.00 | 0.19 | 0.20 | 1.00 | 0.19 | 0.20 |
| 19 | 1.00 | 0.19 | 0.21 | 1.00 | 0.19 | 0.21 | 1.00 | 0.19 | 0.21 | 1.00 | 0.19 | 0.21 |
| 20 | 1.00 | 0.19 | 0.22 | 1.00 | 0.19 | 0.22 | 1.00 | 0.19 | 0.22 | 1.00 | 0.19 | 0.22 |

Tabela A.1: *Exemplo de tabela.*

Referências Bibliográficas

- Alon(2009)** Uri Alon. How To Choose a Good Scientific Problem. *Molecular Cell*, 35(6):726–728. doi: 10.1016/j.molcel.2009.09.013. Citado na pág. 9
- Eco(2009)** Umberto Eco. *Como se Faz uma Tese*. Perspectiva, 22^o edição. Tradução Gilson Cesar Cardoso de Souza. Citado na pág. 1
- Gevers et al.(2012)** Theo Gevers, Arjan Gijsenij, Joost van de Weijer e Jan-Mark Geusebroek. *Color in Computer Vision: Fundamentals and Applications*. Wiley. ISBN 0470890843. Citado na pág. 3, 5, 6
- Gonzalez e Woods(2002)** Rafael C. Gonzalez e Richard E. Woods. *Digital Image Processing*. Prentice Hall, segunda edição. ISBN 0201180758. Citado na pág. 3, 4, 6, 7
- Higham(1998)** Nicholas J. Higham. *Handbook of Writing for the Mathematical Sciences*. SIAM: Society for Industrial and Applied Mathematics, segunda edição. Citado na pág. 1
- Knuth et al.(1996)** Donald E. Knuth, Tracy Larrabee e Paul M. Roberts. *Mathematical Writing*. The Mathematical Association of America. Citado na pág. 1
- Pedrini e Schwartz(2008)** Hélio Pedrini e William Robson Schwartz. *Análise de imagens digitais: princípios, algoritmos e aplicações*. Thomson Learning, São Paulo. ISBN 978-85-221-0595-3. Citado na pág. 7, 8
- Plataniotis e Venetsanopoulos(2000)** Konstantinos N. Plataniotis e Anastasios N. Venetsanopoulos. *Color Image Processing and Applications*. Springer, primeira edição. ISBN 3642086268. Citado na pág. 3, 4, 6, 8
- Tufte(2001)** Edward Tufte. *The Visual Display of Quantitative Information*. Graphics Pr, 2nd edição. Citado na pág. 1
- Vezhnevets et al.(2003)** Vladimir Vezhnevets, Vassili Sazonov e Alla Andreeva. A survey on pixel-based skin color detection techniques. Em *In Proc. GRAPHICON-2003*, páginas 85–92. Citado na pág. 5
- Wazlawick(2009)** Raul S. Wazlawick. *Metodologia de Pesquisa em Ciencia da Computação*. Campus, primeira edição. Citado na pág. 1
- Zobel(2004)** Justin Zobel. *Writing for Computer Science: The art of effective communication*. Springer, segunda edição. Citado na pág. 1

Índice Remissivo

cores

- modelo CIE, [4](#)
- modelo CMY, [6](#)
- modelo de Munsell, [3](#)
- modelo RGB, [6](#)
- modelos da família HSI, [7](#)
- modelos da família YUV, [7](#)
- modelos de, [3](#)

genoma

- projetos, [1](#)

proposto

- cronograma, [9](#)